

Kapitel 14 - Statische elektrische Felder

Johannes Bilk
me@talachem.de

May 9, 2016

Contents

14 Statische Elektrische Felder	2
14.1 Elektrische Ladungen	2
14.1.1 Reibungselektrizität	2
14.1.2 Ladung ist eine skalare Größe	3
14.1.3 Quarks	4
14.1.4 Entdeckung und Bestimmung der Elementarladung	5
14.2 Kräfte zwischen Ladungen und das Coulomb-Gesetz	5
14.3 Potenzielle Energie einer Ladungsverteilung	7
14.4 Erzeugung el. Felder durch Ladungen	8
14.4.1 Feld einer Punktladung:	8
14.4.2 Feld einer Verteilung von Punktladungen	9
14.4.3 Leiter im el. Feld und Influenz	11
14.5 Kontinuierliche Ladungsverteilung	12
14.6 Elektrischer Fluss und Satz von Gauß	14
14.6.1 Definition: Fluss ϕ eines Vektorfeldes \vec{E} durch eine Fläche A :	15
14.6.2 Gauß'scher Satz	15
14.6.3 Beispiele	16
14.7 Das elektrische Potenzial	22
14.7.1 Elektrisches Feld und Potenzial	24
14.7.2 Poisson- und Laplace Gleichung:	26
14.8 Elektrisches Feld in der Umgebung von Leitern	26
14.8.1 Anwendungen:	28
14.8.2 Elektrisches Feld zwischen geladenen Leitern	29
14.8.3 Berechnung der Kapazität:	30

14 Statische Elektrische Felder

14.1 Elektrische Ladungen

→ Ab dem 17. Jahrhundert: Ursache für "elektrische Phänomene"; "neuartiger Stoff", elektrische Ladung



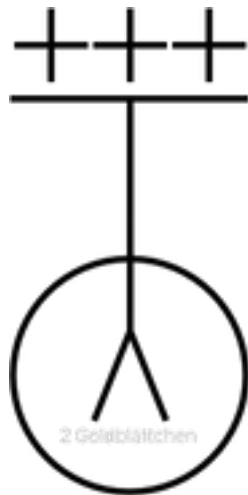
14.1.1 Reibungselektrizität

- Zwei Arten von "elektrischen Zuständen" sind erzeugbar:
 - Gleichartige Zustände \implies Abstoßung
 - Ungleichartige Zustände \implies Anziehung
- Charles Du Fay (1730): positiv/negativ elektrische Ladung
- Benjamin Franklin (1750): Über-/Unterschuss an "elektrischen Fluiden"
- Lichtenberg (1778): Zuordnung der Polarität

Hargummi stab: reiben mit Pelz, Wolle: - Glas, Plexiglas: reiben mit Seide: +
--

Reibezeug: entgegengesetzte Polarität \implies Ladungstrennung, nicht etwa Ladungserzeugung.

Grundsätzliches Messprinzip: Elektroskop:



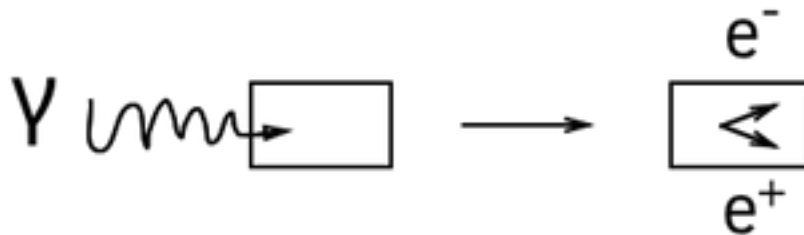
→ Elektrometer → quantitative Messung

- "Löffeln"; d.h. portionsweise Übertragung von Ladungen ist möglich
- Elektropendel: \implies periodisches Umladen eines "Kugelpendel"

14.1.2 Ladung ist eine skalare Größe

Einheit 1C = 1 Coulomb, SI

- Zu jedem geladenen Elementarteilchen gibt es ein Elementarteilchen mit entgegengesetzter Ladung (\rightarrow Ladungssymmetrie)
- Die Gesamtladung eines abgeschlossenen Systems bleibt erhalten (\rightarrow Ladungserhaltung)
- Beispiel: Produktion eines e^+e^- -Paares; $E_\gamma \geq 1,02 \text{ MeV}$



Nachweis: Blasenkammer im Magnetfeld:

Umkehrung: "Zerstrahlung" von Positronen; $E = m \cdot c^2$

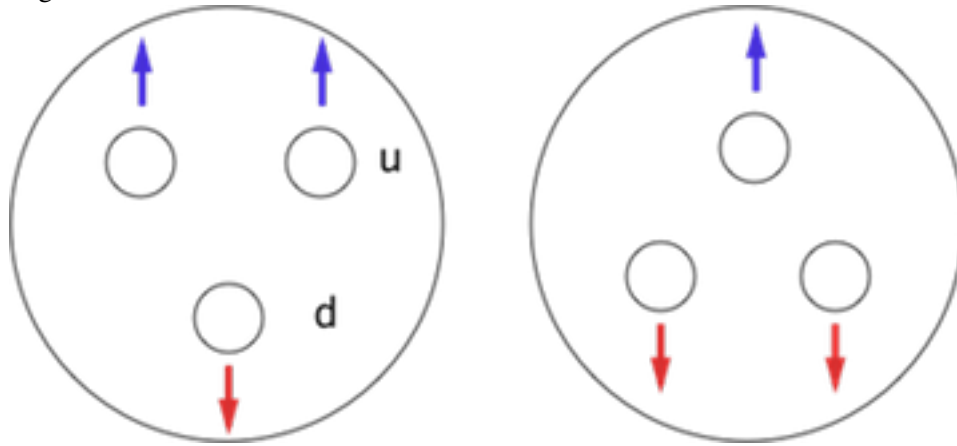
- Ladungsträger haben stets eine Masse
- Ladung kann nicht (im Gegensatz zur Masse) in Energie umgewandelt werden, bleibt auch bei Zerfallsprozessen erhalten.
- Quantisierung der Ladung: Alle in der Natur vorkommenden Ladungen sind ganzzahlige Vielfache der Elementarladung: $e_0 := 1,602 \cdot 10^{-19} \text{C}$; $1 \text{C} = 1 \text{AS}$

Beispiele von Ladungen

- Neutral: γ, ν, n
- einfach geladen: e^-, e^+, p, \bar{p}
- zweifach geladen: $\text{He}_2(2^+, Z : 2)$

14.1.3 Quarks

Seit 60er Jahre Nukleonen bestehen aus Quarks, diese haben "drittelzahlige Ladungen"



Up-Quarks: $u : +\frac{2}{3}e_0$
Down-Quarks: $d : -\frac{1}{3}e_0$
Proton: $2u + d : 1 \cdot e_0$
Neutron: $u + 2d : 0 \cdot e_0$

Quarks treten immer in 2er- oder 3er- Kombinationen auf.

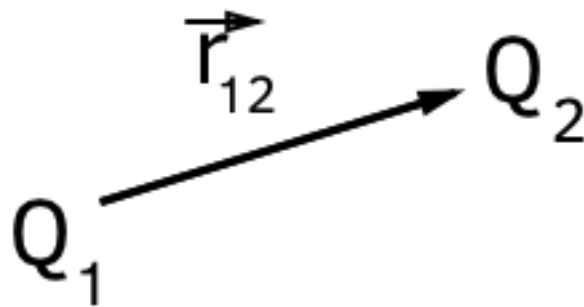
14.1.4 Entdeckung und Bestimmung der Elementarladung

Robert Andrews Millikan(1868-1953): Öltröpfchenversuch (→ Anfängerpraktikum)

14.2 Kräfte zwischen Ladungen und das Coulomb-Gesetz

Charles-Augustin de Coulomb (1736-1806)

1785: Messung der Kraft zwischen zwei Ladungen als Funktion des Abstands mit Hilfe einer Torsionswaage



$$\vec{F}_{12} = f \cdot \frac{Q_1 \cdot Q_2}{r_{12}^2} \cdot \frac{\vec{r}_{12}}{|\vec{r}_{12}|} = f \cdot \frac{Q_1 \cdot Q_2}{r_{12}^2} \cdot \hat{r}_{12}$$

F ist definiert durch die Definition der Ladungseinheit:

Internationales Messsystem (SI): $f = \frac{1}{4\pi\epsilon_0}$

$$\epsilon_0 = 8,854 \cdot 10^{-12} \frac{(As)^2}{Nm^2}$$

ist Dielektrizitätskonste des Vakuums oder elektrische Feldkonstante

$Q_1 \cdot Q_2 > 0$: Abstoßung

$Q_1 \cdot Q_2 < 0$: Anziehung

Coulomb-Kraft

$$\vec{F}_{12} = \frac{1}{4\pi\epsilon_0} \cdot \frac{Q_1 \cdot Q_2}{r_{12}^2} \cdot \hat{r}_{12}$$

1 Coulomb ist diejenige elektrische Ladung, die eine gleich große Ladung im Abstand von 1m mit der Kraft von $8,9874 \cdot 10^9 N$ abstößt

Analogie Gravitation: $\vec{F} = -\gamma \frac{m_1 \cdot m_2}{r^2} \cdot \hat{r}$

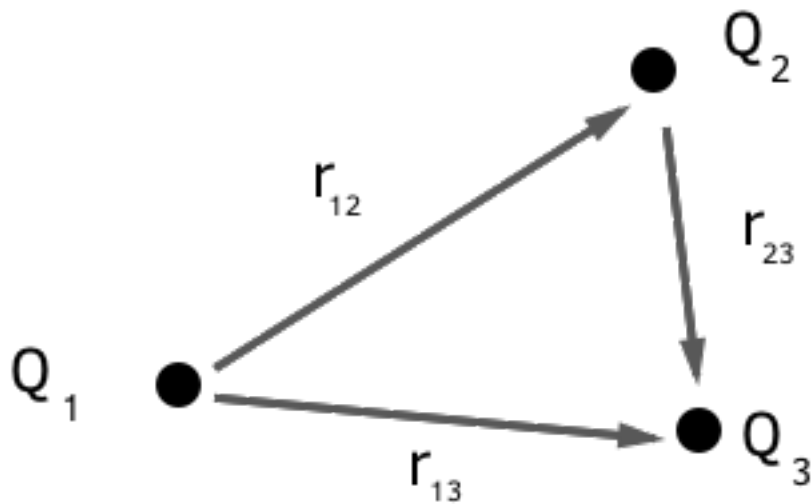
Vergleiche Gravitation und Coulombkraft zwischen Elektron und Proton:

$$|\vec{F}_C| = \frac{1}{4\pi\epsilon_0} \cdot \frac{|q_p| \cdot |q_e|}{r^2} = 2,3 \cdot 10^{-28} \frac{N}{r[m]^2}$$

$$|\vec{F}_G| = \gamma \cdot m_e \cdot m_p = 9,71 \cdot 10^{-68} \frac{N}{r[m]^2}$$

$$\implies \frac{|F_G|}{|F_C|} = 4,2 \cdot 10^{-40}$$

Wechselwirkung zwischen mehreren Ladungen



Die einzelnen Kräfte überlagern sich ungestört, (ungestörte Superposition)!

Kraft auf

$$Q_3 : \vec{F}_3 = \left[\frac{Q_1 \cdot Q_3}{r_{13}^2} \cdot \hat{r}_{13} + \frac{Q_2 \cdot Q_3}{r_{23}^2} \cdot \hat{r}_{23} \right]$$

14.3 Potenzielle Energie einer Ladungsverteilung

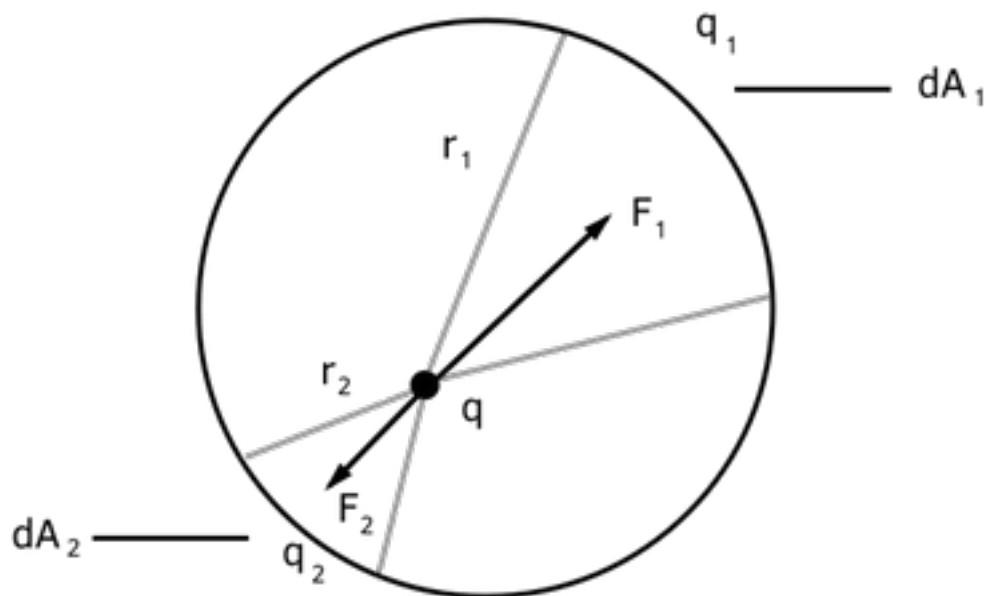
$$\begin{aligned}
 W_{12} &= -\frac{1}{4\pi\epsilon_0} \cdot \int_{\infty}^r \frac{Q_1 \cdot Q_2}{V^2} dV \\
 &= \frac{1}{4\pi\epsilon_0} \left[\frac{Q_1 \cdot Q_2}{V} \right]_{\infty}^r = \frac{1}{4\pi\epsilon_0} \cdot \frac{Q_1 \cdot Q_2}{V_{12}} \\
 W_{1,2,3} &= \frac{1}{4\pi\epsilon_0} \left(\frac{Q_1 \cdot Q_3}{r_{13}} + \frac{Q_1 \cdot Q_2}{r_{12}} + \frac{Q_2 \cdot Q_3}{r_{23}} \right)
 \end{aligned}$$

Anzahl an Summanden = Anzahl an Paaren

$$W = \left[\frac{1}{2} \sum_{i=1}^N \sum_{j=1}^N \frac{Q_i \cdot Q_j}{r_{ij}} \right] \cdot \frac{1}{4\pi\epsilon_0}$$

⇒ Aufsummieren auch unendlicher Ensembles möglich, wenn die Reihe konvergiert.

Betrachte Kraft auf Probeladung in homogen geladener Kugel



Für beliebige Räumlichelemente (und damit auch Flächenelemente) gilt:

$$q_1 \propto dA_1 \propto r_1^2$$

$$q_1 \propto dA_1 \propto r_1^{\frac{1}{2}}$$

$$\text{Geometrie} \implies \frac{q_1}{q_2} = \frac{r_1^2}{r_2^2}$$

$$\text{Annahme: Kraft} \propto \frac{1}{r^n}$$

$$|\vec{F}_1| = \frac{1}{4\pi\epsilon_0} \cdot \frac{q \cdot q_1}{r_1^n}$$

$$|\vec{F}_2| = \frac{1}{4\pi\epsilon_0} \cdot \frac{q \cdot q_2}{r_2^n}$$

Geometrie einsetzen:

$$\frac{|\vec{F}_1|}{|\vec{F}_2|} = \frac{q_1}{r_1^n} \cdot \frac{r_2^n}{q_2} \stackrel{!}{=} 1 \implies n = 2$$

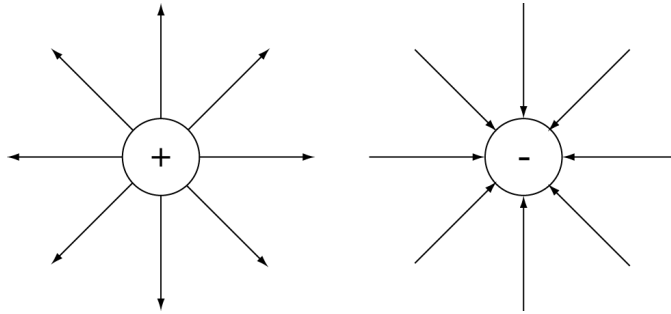
Gesamtkraft verschwindet nur wenn $|\vec{F}| \propto \frac{1}{r^2}$

14.4 Erzeugung el. Felder durch Ladungen

14.4.1 Feld einer Punktladung:

$$\begin{aligned} \vec{F} &= \frac{1}{4\pi\epsilon_0} \cdot \frac{q_1 q_2}{|\vec{r}_{12}|^2} \cdot \hat{r}_{12} \\ &= q_1 \cdot \underbrace{\frac{1}{4\pi\epsilon_0} \cdot \frac{q_2}{|\vec{r}_{12}|^2}}_{\text{Feld von } q_2} \cdot \hat{r}_{12} \\ &= q_1 \vec{E}(\vec{r}) \end{aligned}$$

- Felder einer Punktladung sind Zentralfelder mit Kugelsymmetrie
- Konvention: Feldlinien führen von positiver zu negativer Ladung



⇒ Punktladungsfelder sind inhomogen!

14.4.2 Feld einer Verteilung von Punktladungen

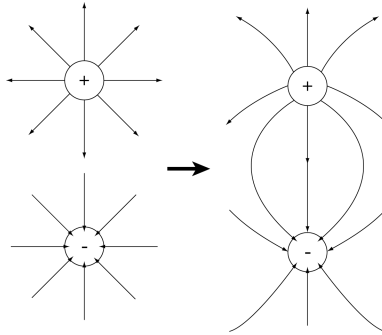
N Ladungen bei \vec{r}_i

$$\vec{E}_i(\vec{r}) = \frac{1}{4\pi\epsilon_0} \cdot \frac{q_i}{|\vec{r} - \vec{r}_i|^2} \cdot \frac{\vec{r} - \vec{r}_i}{|\vec{r} - \vec{r}_i|}$$

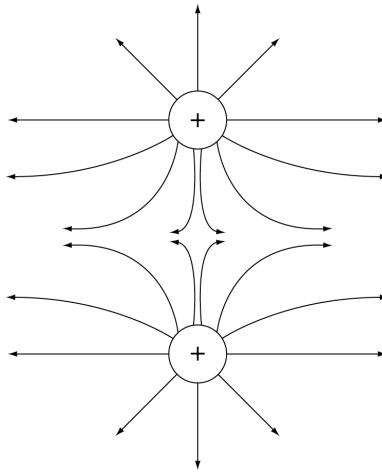
Ungestörte Superposition:

$$\vec{E}(\vec{r}) = \frac{1}{4\pi\epsilon_0} \cdot \sum_{i=1}^N \frac{q_i}{|\vec{r} - \vec{r}_i|^2} \cdot \frac{\vec{r} - \vec{r}_i}{|\vec{r} - \vec{r}_i|}$$

2 Ladungen, q ; $-q$: Feld eines Dipols

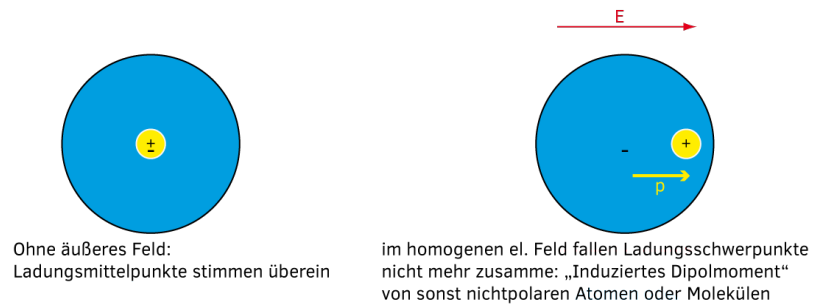


2 Ladungen: q ; q

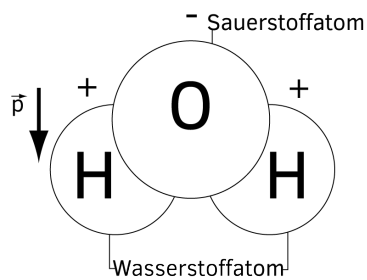


Beispiele für "natürliche Dipole":

1. Neutrales Atom im homogenen \vec{E} -Feld



2. Polare Moleküle mit permanentem Dipolmoment

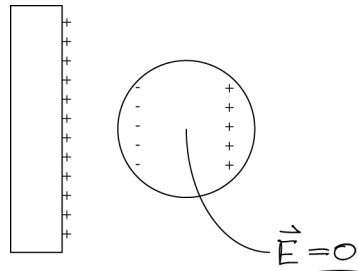


14.4.3 Leiter im el. Feld und Influenz

Leiter: Ladungen sind frei beweglich

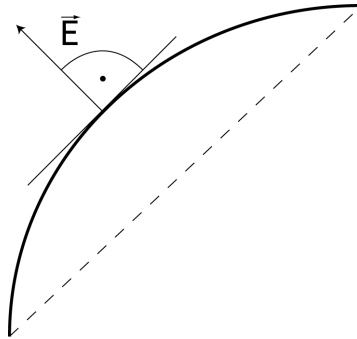
Isolator: Ladungen sind ortsfest

1. $\vec{E} = 0$ im Inneren des Leiters



falls $\vec{E} \neq 0$: $\vec{F} = q\vec{E}$ verschiebt Ladung bis $\vec{E} = 0$!

- $$\sigma = \frac{dQ}{dA}$$



(falls $\vec{E}_{||} \neq 0$: Verschiebung der Ladung bis $\vec{E}_{||} = 0$!)

Influenz: Räumliche Ladungstrennung in el. Leitern durch äußeres \vec{E} -Feld (Kontaktlos!), so dass das Innere des Leiters feldfrei ist!

14.5 Kontinuierliche Ladungsverteilung

Betrachte Ladungsverteilung über endliches Volumen $V = \int_V dV$



Ladungsdichte: $\rho(\vec{r}) = \frac{dq(\vec{r})}{dV}$

Gesamtladung: $Q = \int_V dq = \int_V \rho(\vec{r}) dV$

Flächenladungsdichte: $\sigma = \frac{dq}{dA}$

Integral über geschlossene Oberfläche: $A = \oint_A dA$

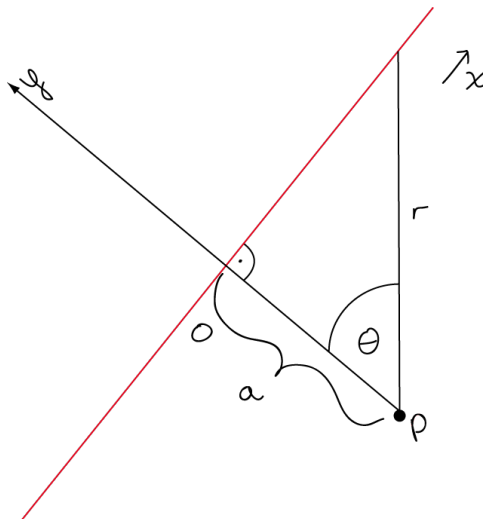
1-dim Ladungsdichte: $\lambda = \frac{dq}{dl}$

Länge $l = \int_l dl'$

für (*) :

$$\begin{aligned} d\vec{E}(\vec{r}) &= \frac{dq}{|\vec{r} - \vec{r}'|^3} \cdot (\vec{r} - \vec{r}') \cdot \frac{1}{4\pi\epsilon_0} \\ \vec{E}(\vec{r}) &= \frac{1}{4\pi\epsilon_0} \int_V dV \left\{ \frac{dq}{dV} \cdot \frac{(\vec{r} - \vec{r}')}{|\vec{r} - \vec{r}'|^3} \right\} \\ &= \frac{1}{4\pi\epsilon_0} \int_V dV \left\{ \frac{\rho(\vec{r}')}{|\vec{r} - \vec{r}'|^3} \cdot (\vec{r} - \vec{r}') \right\} \end{aligned}$$

Beispiel: unendlich langer geladener Draht



$$\frac{dq}{dx} = \lambda \text{ (lin. Ladungsdichte)}$$

$$\text{Symmetrie: } E_x = E_z = 0$$

$$E_y = E \cdot \cos(\theta)$$

$$dE_y = |d\vec{E}| \cdot \cos(\theta)$$

$$dE_y = \frac{1}{4\pi\epsilon_0} \cdot 2 \cdot \frac{\lambda \cdot dx}{r^2(\theta)} \cdot \cos(\theta) \quad ; \cos(\theta) = \frac{a}{r}$$

$$= \frac{1}{2\pi\epsilon_0} \cdot \lambda \cdot dx \cdot \underline{\cos^2 \theta} \cdot \cos \theta$$

$$\tan \theta = \frac{x}{a} \Rightarrow \frac{dx}{d\theta} = \frac{a}{\cos^2 \theta} \quad \Rightarrow dx = \frac{a}{\underline{\cos^2 \theta}} d\theta$$

$$\Rightarrow dE_y = \frac{1}{2\pi\epsilon_0} \cdot \lambda \cdot \frac{\cos \theta}{a} \cdot d\theta$$

$$E_y = \frac{1}{2\pi\epsilon_0} \cdot \frac{\lambda}{a} \cdot \int_0^{\pi/2} \cos \theta d\theta = \underline{\underline{\frac{1}{2\pi\epsilon_0} \cdot \frac{\lambda}{a}}}$$

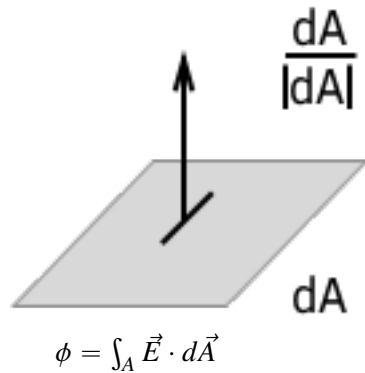
14.6 Elektrischer Fluss und Satz von Gauß



Zusammenhang zwischen "Elektrischem Fluss" (Feldliniendurchsatz) durch eine Oberfläche und der eingeschlossenen Ladung.

\Rightarrow Allgemeinere Formulierung des Coulomb-Gesetzes

14.6.1 Definition: Fluss ϕ eines Vektorfeldes \vec{E} durch eine Fläche A :



$d\vec{A}$: Richtung \perp Fläche (nach Außen)
Richtung der Flächennormale

Betrag dA : Größe der Fläche

Spezialfälle \vec{E} – homogen $\vec{E} \cdot d\vec{A} = E \cdot dA \cdot \cos \alpha$

• $\alpha = 0$: $\vec{E} \parallel d\vec{A}$: $\vec{E} \cdot d\vec{A} = E \cdot dA$

• $\alpha = 90$: $\vec{E} \perp d\vec{A}$: $\vec{E} \cdot d\vec{A} = 0$

14.6.2 Gauß'scher Satz

$$\phi = \oint_{\substack{A \\ \text{geschlossen}}} \vec{E} \cdot d\vec{A} = \frac{Q_{\text{eingeschlossen}}}{\epsilon_0}$$

Der elektrische Fluss durch einer beliebigen geschlossenen Oberfläche hängt weder von der Form der Oberfläche, noch von der Ladungsverteilung $\varrho(\vec{r})$ ab, sondern nur von der eingeschlossenen Gesamtladung Q .

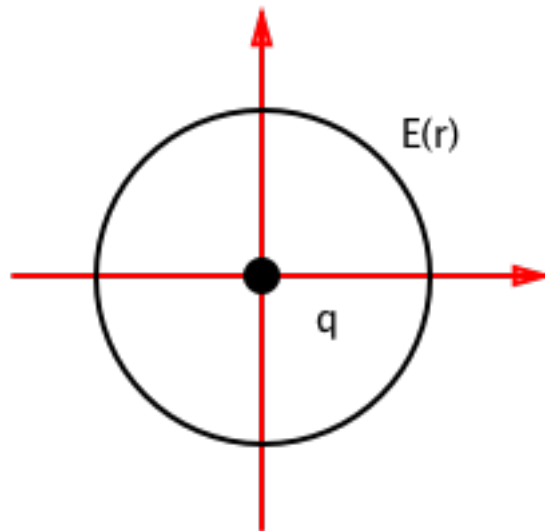
Mathematisch gilt:

$$\begin{aligned}\oint_A \vec{E} \cdot d\vec{A} &= \int_V \operatorname{div} \cdot \vec{E} \cdot dV \\ &= \int_V \vec{\nabla} \cdot \vec{E} \cdot dV \\ \Rightarrow \int_V \vec{\nabla} \cdot \vec{E} dV &= \frac{1}{\epsilon_0} \int_V \varrho(\vec{r}) dV \\ &= \vec{\nabla} \cdot \vec{E} = \frac{\varrho(\vec{r})}{\epsilon_0}\end{aligned}$$

Die Ladungsverteilung im Raum ist die lokale Quelle ($\varrho(\vec{r}) > 0$) bzw. Senke ($\varrho(\vec{r}) < 0$) des elektrischen Feldes.

14.6.3 Beispiele

(i) Feld einer Punktladung

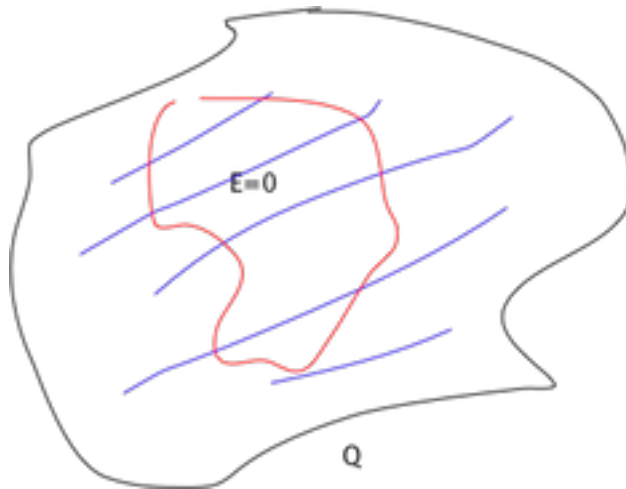


- Geeignete Wahl von A: Kugeloberfläche
- Symmetrie: $\vec{E}(\vec{r}) = E(r) \cdot \hat{e}_r$
- $\Rightarrow \vec{E} \parallel d\vec{A}$

$$\begin{aligned}
 \phi &= \oint_A \vec{E}(\vec{r}) \cdot d\vec{A} = \oint_A E(r) \cdot \hat{e}_r \cdot d\vec{A} \\
 &= \oint_A E(r) \cdot dA \\
 &= E(r) \cdot \oint_A dA \\
 &= E(r) \cdot 4\pi r^2
 \end{aligned}$$

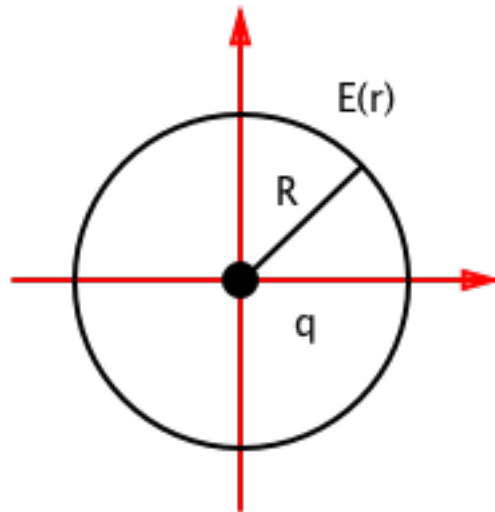
Gauß: $\phi \stackrel{!}{=} \frac{Q}{\epsilon_0} = E(r) \cdot 4\pi r^2 \implies E(r) = \frac{1}{4\pi\epsilon_0} \cdot \frac{Q}{r^2}$

(ii) Ladung auf beliebig geformten Leitern

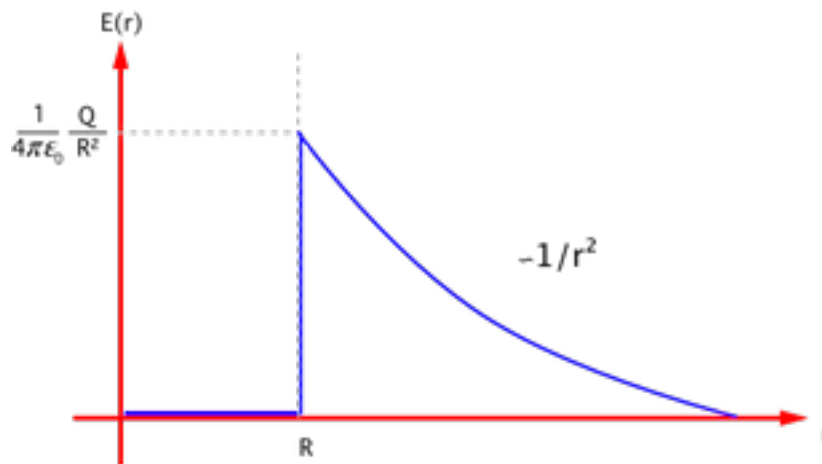


$$\phi = \oint_A \vec{E} d\vec{A} = \frac{Q}{\epsilon_0} = 0$$

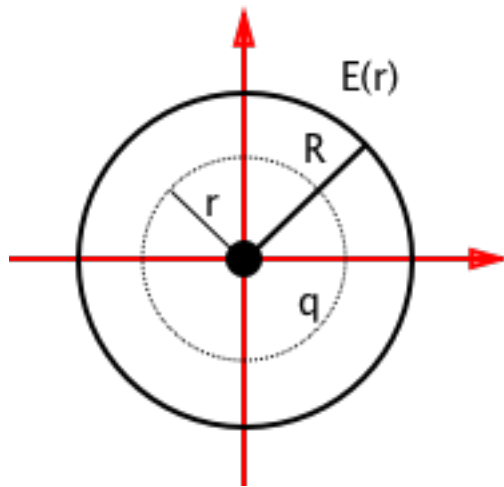
(iii) Feld einer leitenden Kugel mit Ladung Q: (Ladung auf der Oberfläche)



$$\begin{aligned}\vec{E}(\vec{r}) &= E(\vec{r}) \cdot \hat{e}_r \\ r < R : E &= 0 \\ r > R : \oint_A E(r) dA &= E(r) \cdot 4\pi r^2 \\ \phi &= \frac{Q}{\epsilon_0} \\ \Rightarrow E(r) &= \frac{1}{4\pi\epsilon_0} \cdot \frac{Q}{r^2}\end{aligned}$$



(iv) Feld einer homogen geladenen Kugel



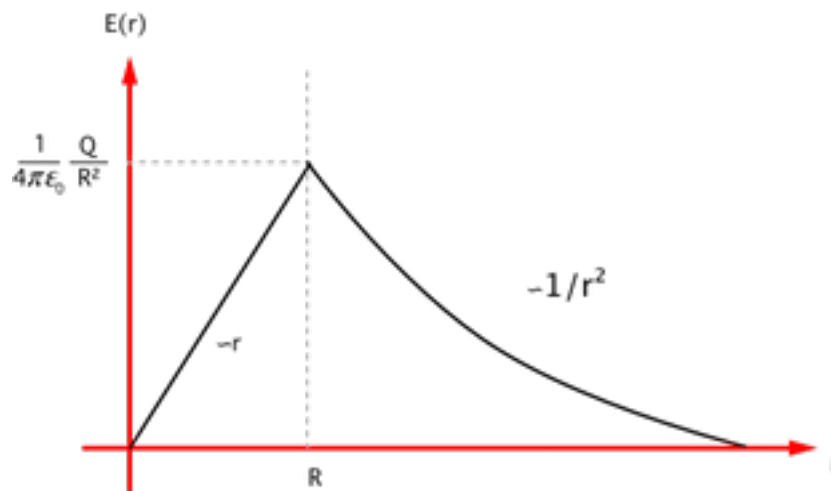
$$\rho = \frac{Q}{\frac{4}{3}\pi R^3} \text{ für } r < R \quad \rho = 0 \text{ für } r > R$$

$$\underline{r < R:}$$

$$\phi = \oint_A \vec{E} \cdot d\vec{A} = E(r) \cdot 4\pi r^2 = \frac{Q_{in}}{\epsilon_0}$$

$$Q_{in} = Q \cdot \frac{r^3}{R^3}$$

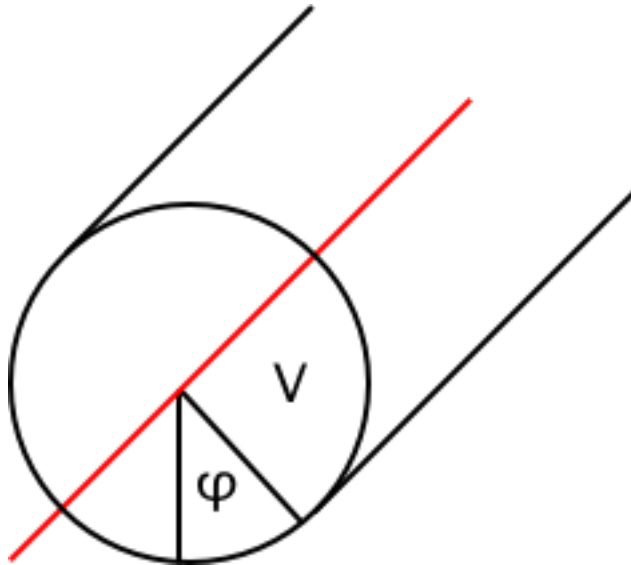
$$\Rightarrow E(r) = \frac{1}{4\pi\epsilon_0} \cdot \frac{Q}{R^3} \cdot r$$



\Rightarrow Von Außen ist nicht feststellbar, ob die geladene Kugel massiv oder hohl

ist (Leiter oder homogen geladener Isolator)!

(v) Unendlich langer homogen geladener Draht



Zylinderkoordinaten:

$$\lambda = \frac{dq}{dL} = \left(\frac{Q}{R}\right) \leftarrow \text{als endliche lange } l$$

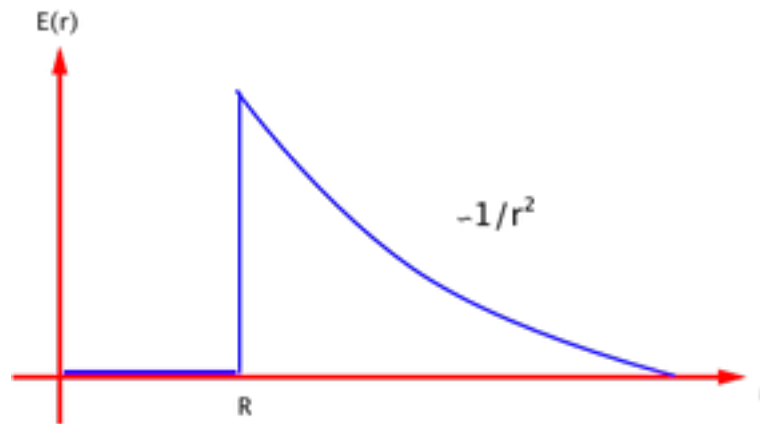
$$\vec{E}(\vec{r}) = \vec{E}(r) = E(r) \cdot \hat{e}_r$$

$$\phi = \oint_A \vec{E} \cdot d\vec{A} = \oint_A E(r) dA = E(r) \oint_A da = E(r) \cdot 2\pi r l$$

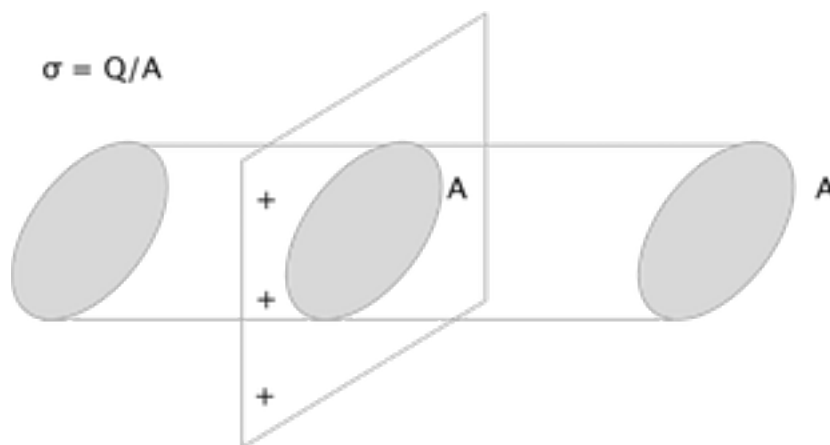
$$\phi = \frac{Q_{ges}}{\epsilon_0} \implies E(r) = \frac{Q_{ges}}{2\pi\epsilon_0 \cdot r l}$$

$$E(r) = \frac{\lambda}{2\pi\epsilon_0} \cdot \frac{1}{r}$$

(vi) Unendlich langer, homogen geladener leitender Zylinder



(vii) Feld einer homogen geladener unendliche leitenden Ebene



$$\sigma = \frac{Q}{A}$$

$$\phi = \oint_A \vec{E} \cdot d\vec{A} = \int_{A, \text{stirn}} \vec{E} \cdot d\vec{A} + \int_{A, \text{mantel}} \vec{E} \cdot d\vec{A}$$

\vec{E} -Ebene

\Rightarrow Beitrag über Mantelfläche verschwindet ($d\vec{A} \perp \vec{E}$)

$$\phi = \oint_A \vec{E} d\vec{A} = 2 \cdot E \cdot A_{\text{stirn}} \stackrel{G.S.}{=} \frac{Q}{\epsilon_0}$$

$$\Rightarrow E = \frac{\sigma}{2\epsilon_0}$$

14.7 Das elektrische Potenzial

Coulombkraft: Zentralkraft, konservativ

$\implies \exists$ potentielle Energie (siehe 14.3)

für Ladungen q_0 im \vec{E} -Feld gilt:

$$E_{pot}(\vec{r}) = -q_0 \cdot \int_{\infty}^{\vec{r}} \vec{E}(\vec{r}) \cdot d\vec{r}$$

Für das elektrische Potenzial $\varphi(\vec{r})$ gilt:

$$\varphi = - \int_{\infty}^{\vec{r}} \vec{E}(\vec{r}) \cdot d\vec{r} = \frac{1}{q_0} E_{pot}(\vec{r})$$

→ Beachte: Arbeit ist unabhängig vom Weg!

Verschiebe q_0 von \vec{r}_1 nach \vec{r}_2 ; die benötigte Arbeit ist:

$$\begin{aligned} W_{12} &= \int_{\vec{r}_1}^{\vec{r}_2} \vec{F}(\vec{r}) \cdot d\vec{r} = q_0 \int_{\vec{r}_1}^{\vec{r}_2} \vec{E}(\vec{r}) \cdot d\vec{r} \\ &= \underline{q_0 \cdot (\varphi(\vec{r}_1) - \varphi(\vec{r}_2))} \end{aligned}$$

$\varphi(\vec{r})$ nur bis auf Integrationskonste bestimmt!

Die Potentialdifferenz zwischen zwei Punkten:

$$U = \varphi(\vec{r}_1) - \varphi(\vec{r}_2) = \frac{W_{12}}{q_0} \text{ heißt elektrische Spannung!}$$

$q_0 \cdot U$ ist die Arbeit, die man braucht um q_0 von \vec{r}_1 nach \vec{r}_2 zu bringen!

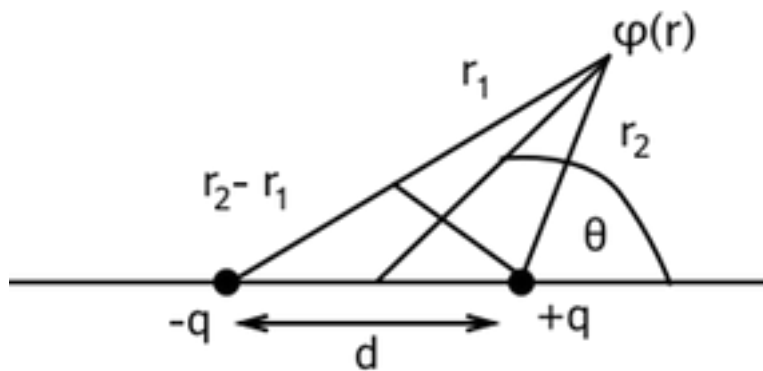
$$[U] = 1 \text{ Volt} = 1 \text{ V} = 1 \frac{\text{J}}{\text{C}}$$

Beachte: $\varphi(\vec{r}_1) - \varphi(\vec{r}_2) = - \oint \vec{E}(\vec{r}) \cdot d\vec{r} = 0!!$

Batterie:	1,5V	[
Stadtnetz:	220V	[
berlandleitung:	250kV	[
Blitz:	10-15MV	[

$$\begin{aligned}\varphi(\vec{r}) &= - \int \vec{E}(\vec{r}') \cdot d\vec{r}'; \vec{E} = E \cdot \hat{e}_r \\ &= - \frac{q_1}{4\pi\epsilon_0} \cdot \int_{\infty}^r \frac{d\vec{r}}{r^2} \\ \varphi(\vec{r}) = \varphi(r) &= \frac{q_1}{4\pi\epsilon_0 \cdot r}\end{aligned}$$

(in 3D: Kugelflächen
in 2D: Kreise)

$$\varphi(\vec{r}) = \frac{1}{4\pi\epsilon_0} \cdot \sum_i \frac{q_i}{|\vec{r} - \vec{r}_i|}$$


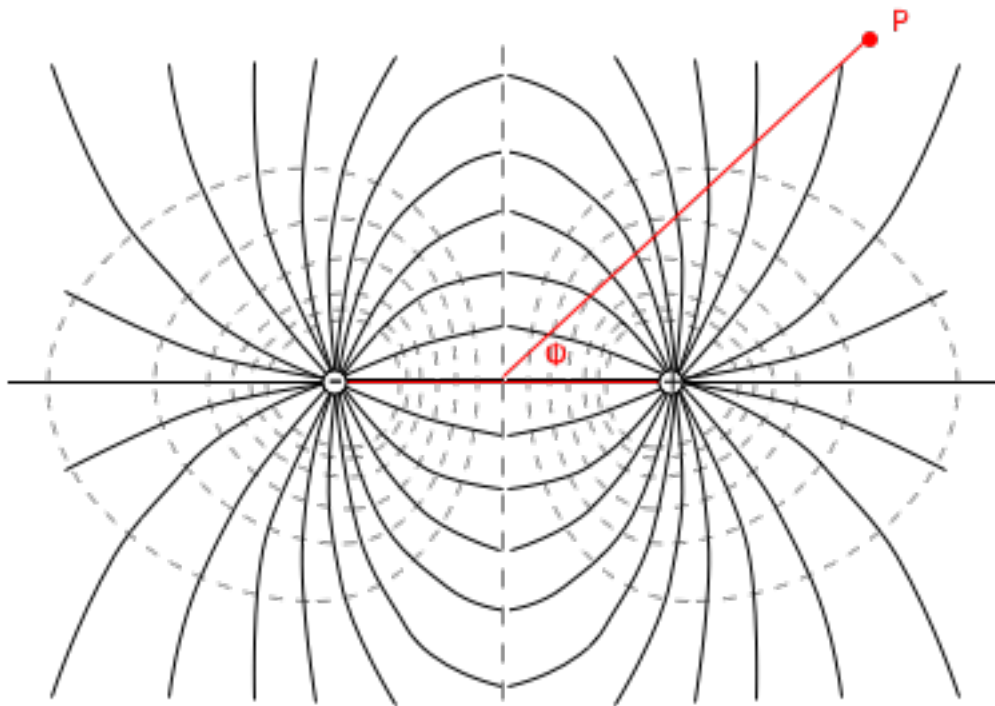
23

$$\text{für } \underbrace{d \ll r}_{\text{Fernfeld}} : r_1 \cdot r_2 = r^2$$

$$r_2 - r_1 = d \cdot \cos \theta$$

$$\varphi(\vec{r}) = \varphi(r) = \frac{q \cdot d \cdot \cos \theta}{4\pi\epsilon_0 \cdot r^2} = \frac{\varphi \cdot \cos \theta}{4\pi\epsilon_0} \cdot \frac{1}{r^2}$$

Potenzialverteilung:



(iii) Kontinuierliche Ladungsverteilung:

$$\varphi(\vec{r}) = \frac{1}{4\pi\epsilon_0} \cdot \int_{\tilde{V}} \frac{dQ}{|\vec{r} - \tilde{\vec{r}}|} = \frac{1}{4\pi\epsilon_0} \cdot \int_{\tilde{V}} d\tilde{V} \left\{ \frac{\varphi(\tilde{\vec{r}})}{|\vec{r} - \tilde{\vec{r}}|} \right\}$$

14.7.1 Elektrisches Feld und Potenzial

$\varphi(\vec{r})$: Skalare Größe, manchmal einfacher zu berechnen als $\vec{E}(\vec{r})$

$\implies \vec{E}(\vec{r})$ aus $\varphi(\vec{r})$ bestimmen?

$$\varphi = \varphi(\vec{r}) = \varphi(x, y, z); \vec{E} = \vec{E}(\vec{r}) = \begin{pmatrix} E_x \\ E_y \\ E_z \end{pmatrix}$$

$$d\vec{r} = \begin{pmatrix} dx \\ dy \\ dz \end{pmatrix}$$

$$\underbrace{d\varphi}_{\text{vollständiges Differential}} = -\vec{E}d\vec{r} = -(E_x dx + E_y dy + E_z dz)(*)$$

$$d\varphi = \frac{\partial \varphi}{\partial x} \cdot dx + \frac{\partial \varphi}{\partial y} \cdot dy + \frac{\partial \varphi}{\partial z} \cdot dz(**)$$

$$(*), (**): \left. \begin{array}{l} E_x = -\frac{\partial \varphi}{\partial x} \\ E_x = -\frac{\partial \varphi}{\partial x} \\ E_x = -\frac{\partial \varphi}{\partial x} \end{array} \right\} \implies \underline{\vec{E} = -\text{grad}\varphi}$$

\vec{E} zeigt in Richtung des betragsmäßig größten Anstiegs von φ , allerdings in abnehmende Richtung.

Äquipotenziallinie: $d\varphi = -\vec{E} \cdot d\vec{r}$
 längst einer solchen Linie ist: $d\varphi = 0 \implies -\vec{E} \cdot d\vec{r} = 0$
 $\implies \underline{\vec{E} \perp d\vec{r}}$

Beispiel: Punktladung

$$\varphi(\vec{r}) = \frac{q}{4\pi\epsilon_0} \cdot \frac{1}{r}$$

Kugelkoordinaten, Kugelsymmetrie: $\vec{E} = -\nabla \cdot \varphi = -\frac{\partial \varphi}{\partial r} \cdot \hat{e}_r$

$$\frac{\partial \varphi}{\partial r} = -\frac{q}{4\pi\epsilon_0} \cdot \frac{1}{r^2} \implies \vec{E} = \frac{q}{4\pi\epsilon_0} \cdot \frac{1}{r^2} \cdot \hat{e}_r$$

14.7.2 Poisson- und Laplace Gleichung:

Gauß'scher Satz: $\operatorname{div} \vec{E} = \vec{\nabla} \cdot \vec{E} = \frac{\rho}{\epsilon_0}$

Potenzial: $\vec{E} = -\vec{\nabla}\varphi$

Einsetzen: $\operatorname{divgrad}\varphi = \underbrace{\vec{\nabla} \cdot \vec{\nabla}}_{\Delta} \varphi = -\frac{\rho}{\epsilon_0}$

$$\Delta\varphi = \left(\frac{\partial^2}{\partial x^2} + \frac{\partial^2}{\partial y^2} + \frac{\partial^2}{\partial z^2} \right) \cdot \varphi$$

Spezialfall: $\varphi = 0 \implies \text{Laplace-Gleich} = \underline{\Delta\varphi = 0}$

14.8 Elektrisches Feld in der Umgebung von Leitern

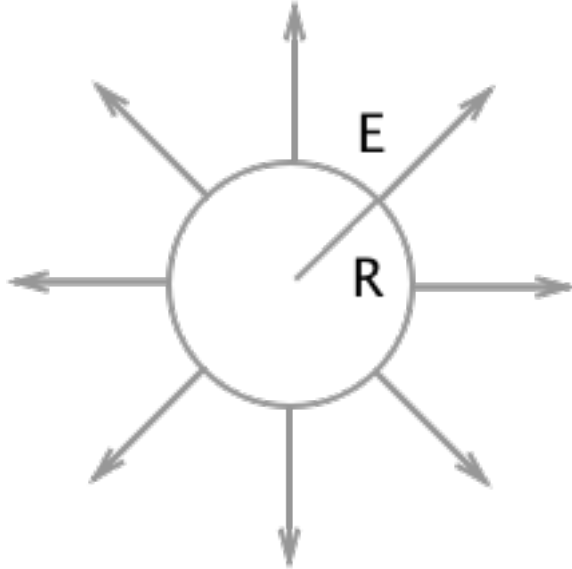
Gauß'scher Satz: $\oint_A \vec{E} \cdot d\vec{A} = 0 \implies \rho = 0$

(Leiter im Inneren Feldfrei!)

Potenzial: $\varphi(r) = -\int \vec{E} d\vec{r} = \text{const.}$

\implies Leiteroberfläche ist Äquipotenzialfläche

Beispiel: Elektrisches Feld an Kugeloberfläche:

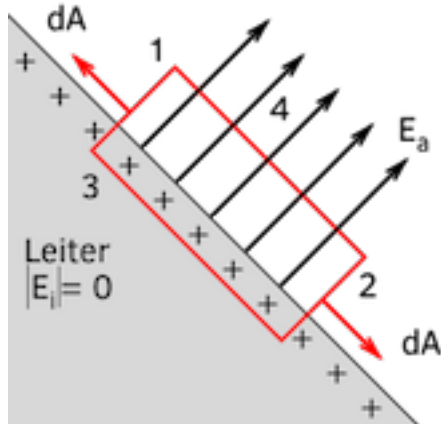


E_{\perp}

für jede Leiteroberfläche berechenbar:

$$\oint_A \vec{E} \cdot d\vec{A} = \frac{Q}{\epsilon_0}$$

Beispiel:



Fläche:

$$1,2: \perp d\vec{A} \Rightarrow "0"$$

$$3: \vec{E} = 0 \Rightarrow 0$$

$$4: E \cdot A = \frac{Q}{\epsilon_0}$$

$$\Rightarrow |\vec{E}| = \frac{1}{\epsilon_0} \cdot \frac{Q}{A} = \frac{1}{\epsilon_0} \cdot \sigma$$

\Rightarrow Die Größe von E_{\perp} an der Oberfläche ist $\frac{\sigma}{\epsilon_0}$!

Weiter mit der Kugel: $E_a = \frac{\sigma}{\epsilon_0} = \frac{1}{\epsilon_0} \cdot \frac{Q}{4\pi \cdot R^2}$

$$\varphi = \frac{Q}{4\pi\epsilon_0 \cdot R} \Rightarrow E_a = \frac{\varphi}{R}$$

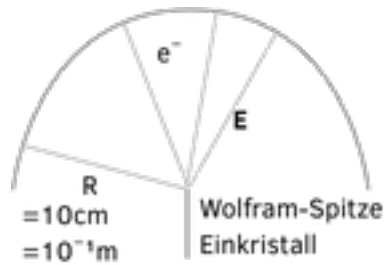
Bei gegebenen Potenzial ist Feldstärke an der Oberfläche umgekehrt proportional zum Kreis...radius!

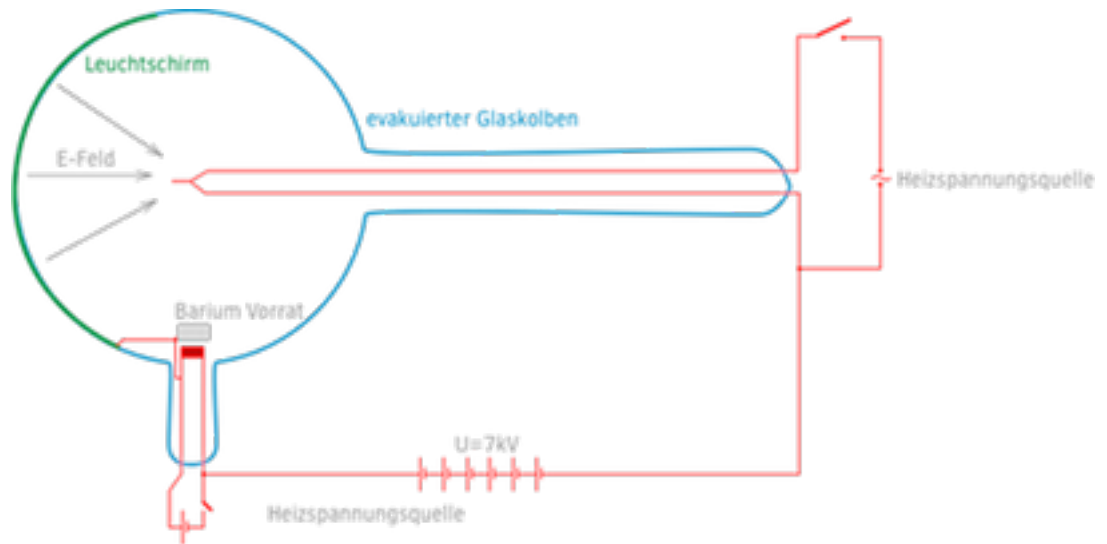
$$\text{Lokal: } |\vec{E}| = \frac{\sigma}{\epsilon_0} = \frac{\varphi}{R}$$

R Klein $\Rightarrow \varphi$ groß, σ groß

14.8.1 Anwendungen:

Feldemissions-Elektronenmikroskop:





$|\vec{E}| = \frac{\varphi}{R} = \frac{10kV}{10^{-7}m} = 10^11 \frac{V}{m}$ an der Wolfram-Spitze
Bewegung der Elektronen Entlang der Feldlinien

- vergrößertes Bild der Wolfram-Spitze
- Vergrößerung: $\frac{R_{schirm}}{R_{spitze}} \approx 10^6$
- so erstmals Atome sichtbar gemacht
- Objekte $< 10^{-9}m \implies < 1nm!$

14.8.2 Elektrisches Feld zwischen geladenen Leitern

Anwendung: 2 isolierte, entgegengesetzt geladene Leiter, (\implies Kondensator)



Coulomb: $|\vec{E}| \propto |Q|$

Spannung: $U_{21} = \varphi_2 - \varphi_1 = - \int_1^2 \vec{E} \cdot d\vec{r} \propto Q$ ist unabhängig vom Weg!

$$\Rightarrow Q \propto U$$

Proportionalitätskonstante?

$$Q = C \cdot U$$

C: Kapazität

Einheit $[C] = \frac{1C}{1V} = 1F$ (Farad)

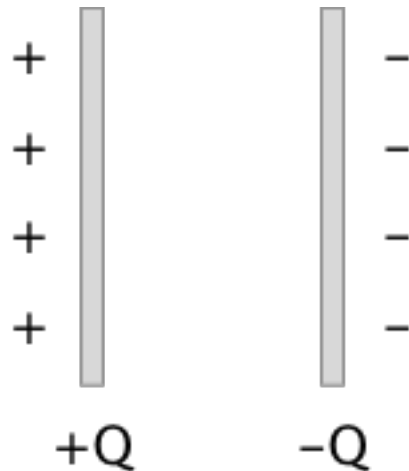
$$\text{typisch : } 10^{-6} F = 1\mu F$$

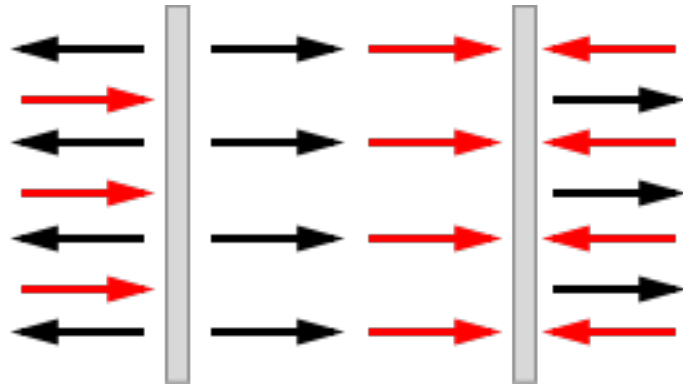
$$10^{-9} F = 1nF$$

$$10^{-12} F = 1pF$$

14.8.3 Berechnung der Kapazität:

Erinnerung: homogen geladene Platte: $E = \frac{\sigma}{2\epsilon_0}$





Im Außenraum: Kompensation

Im Innenraum: Addition

Im Innenraum: $|\vec{E}| = \frac{\sigma}{\epsilon_0}$